

鹿児島高専 正員 村田秀一
鹿児島高専 正員 ○岡林 乃

1. まえがき 桜島は標高1,100mの活火山で、400~500m以上は、平均20度の傾斜で古期の火山噴出物からなっているが、標高100~400m地帯は、平均20度前後の傾斜で、新期噴出物による熔岩原となっている。また、100~200m以下の地帯は、5~10度の山麓緩傾斜面あるいは扇状地斜面となっている。このような地形、地質の要因のかたで、特に標高400~500m以上の地帯で激しい総合侵食と表面侵食が著しく、降雨により堆積している火山灰砂を含んだ土砂流が発生し、側方侵食を伴いつつ流下し、海岸部に放出される。これらの土砂供給量はぼうう大な量で、一河川あたり10万m³/年以上の河川も多い。本研究は、火山灰砂の人工降雨による土砂流実験を行ない、主として、火山灰砂中の土中水の挙動について考察を加え、土石流の発生の要因について検討したものである。

表一1 材料の指教的性質

2. 試験方法と試料の性質 試験に用いた火山灰砂は、野尻川流域で採取したもので、10mm以下の粒径(レキ分40% 砂分55%)のものである。これらの指教的性質を表-1に示す。試験は、表-2に示すような、幅(B)30cm、高さ(H)35cm、長さ(L)約100cm^T、傾斜角(α)6°の水路に火山灰砂を斜面傾斜角(θ)20°に整形し、時間あたり200mm可能な降雨装置を用い、降雨強度(r)150mm/hの雨を降らせ、土砂の流出および崩壊の過程を調べた。また、試験条件としては、木製の水路に直接火山灰砂を盛土した場合と、透水層の上に同条件の盛土をした場合について比較検討した。この透水層材料の性質についても、表-1に示す。

	粒径 径 G _s	10mm以下
試験火	比重 Gs	2.68
山	初期含水比 W%	5.0
初期飽和度 Sr%	21.3	
材	湿潤密度 γ_w (g/cm ³)	1.727
灰	乾燥密度 γ_d (g/cm ³)	1.645
砂	間隙比 e	0.629
	透水係数 k(cm/s)	2.6×10^{-3}
透	粒径 径 G _s	2~10mm
水	比重 Gs	2.54
石	乾燥密度 γ_d (g/cm ³)	1.280
層	透水係数 k(cm/s)	2.0×10^{-3}
材	粒径 径 G _s	0.46~2.0mm
海	比重 Gs	2.69
料	乾燥密度 γ_d (g/cm ³)	1.650
砂	透水係数 k(cm/s)	5.6×10^{-3}

表一2 試験条件

3. 試験結果および考察 一般に雨水は、地面に直すると、土中に浸透する分と、表面流出する分の2成分があり、透水層のある場合とない場合について、降雨による土中の含水比の各点の変化を時間に対してプロットしたのが図-1である。図-2は同じく時間毎に各点の飽和度Sr(%)を示した。透水層のない場合には、20分辺りで斜面のかなりの崩壊が見られたにもかかわらず、透水層(碎石F=5cm)のある場合には崩壊せず、雨水はほとんど火山灰砂層に浸透し、安定した状態を走した。透水材料とその厚さを変化させた場合の、降雨排水百分率(排水量/降雨量×100)を降雨時間との関係を図-3に示した。碎石厚5.0cm, 1.5cmおよび砂層厚5.0cmにおいては、火山灰砂層における崩壊は生じなかつた場合で、約50分後には、浸透量が安定し、降雨量の70~80%が浸透流となつてゐる。

t(min)	試験 I		試験 II (連続降雨)		
	降雨時間寸法(cm)		番号	寸法(cm)	
	HxLxW	F		HxLxW	F
45	35x96.5x30		1		
10			2	35x96.5x30	
15			3		
20			4		
			5		
			6		
7.5					碎石 5 mm 1.5
10					2~10mm
15					35x96.5x30
20					0.46 5 mm 1.5
30					(海砂) 2.0 1.5
40					

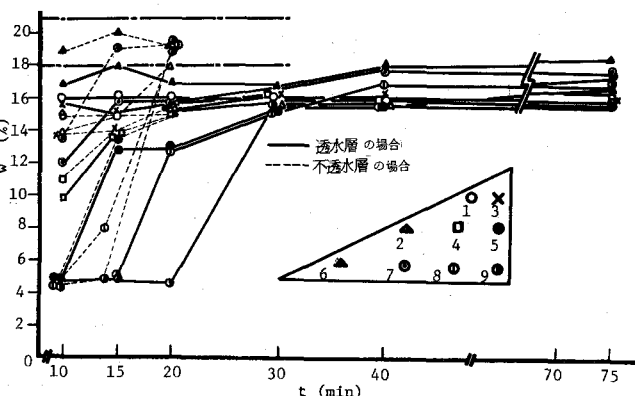


図-1. 透水層の有無による各点の含水比と降雨時間との関係

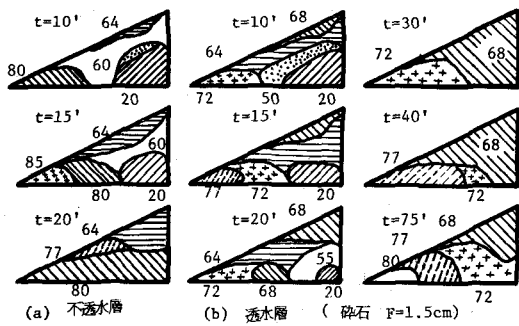


図-2 各点における飽和度 $S_r(\%)$ と時間 t (min)との関係

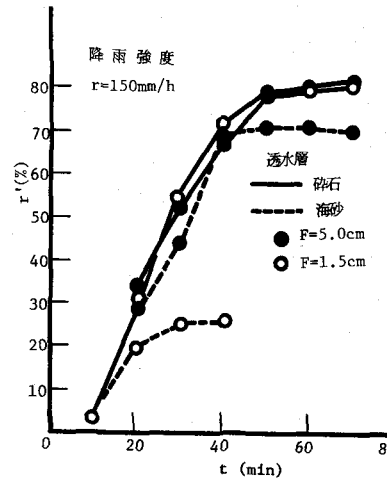


図-3 降雨排水百分率 r' (%)と時間 t (min)の関係

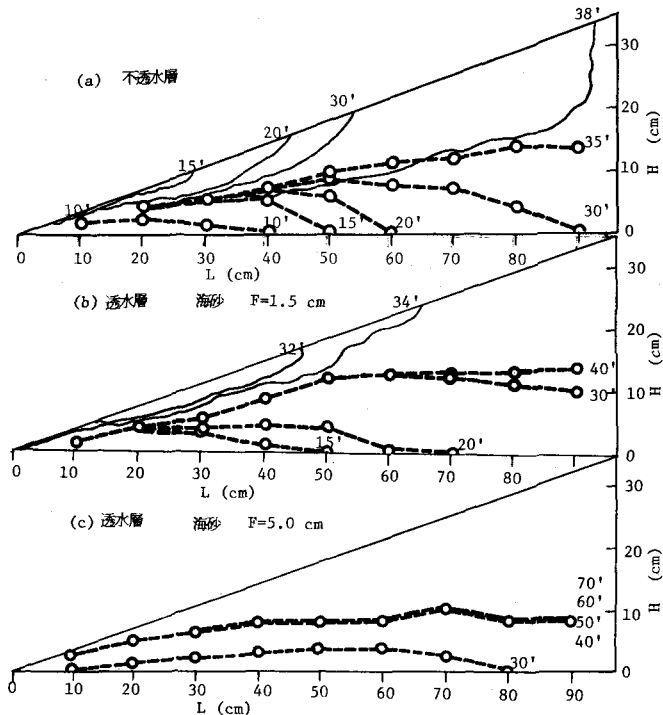


図-4 各種の条件による火山灰砂層の崩壊進行と時間毎のピエゾメータ水位の関係

時間毎のピエゾメータ水位を示したものである。図(a)は、透水層のない場合で、降雨開始10分以後、急速に水位が上昇し、各水位線のピーク点より斜面先側で崩壊が生じている。これは図-2(a)において明らかとなり、水の貯留が斜面先から始まつたため、含水率の増大により火山灰砂の強度係数の低下(図-5)と、水位より上層の斜面に沿う流体力の増加で火山灰砂の安定性は急激に低下し、崩壊するものと考えられる。透水層(碎石 $F=5.0\text{cm}$)を設けた場合は図-4(c)で判明するように、ピエゾメータ水位は、40分ではほとんど一定となり、降雨と透水量との関係が定常化している。このように土石流の発生の原因として雨水の浸透方向や滞留水の影響を考えることができるが、今後水理学的考察を加え、より定量的に検討する必要がある。

あとがき。本実験を行なうにあたり、終始協力いただいた本渡と岸江口光昭、塗木博人両君に深謝の意を表す。また、本研究は文部省科学研究費の補助を受けたものであることを付記する。参考文献：(1) 火山灰砂防計画検討委員会報告書、建設省九州地方建設局附属川工事事務所、S.5.0.3

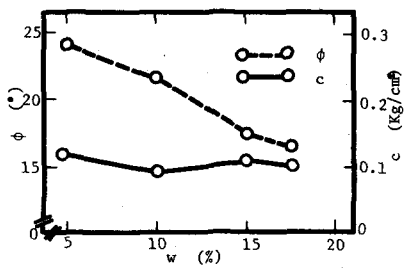


図-5 含水比 w の違いによる粘着力 C と内部摩擦角 ϕ の関係

このことは、透水性の良い層上に火山灰砂層がある場合、雨水の鉛直浸透による浸透圧が作用し、かなり安定な状態であると考えられる。しかし透水層が排水能力の小さい海砂層($F=1.5\text{cm}$)の場合については、降雨開始後30分において降雨量の25%ほどで定常化し、火山灰砂層は、後述(図-4(b))のように、32分より崩壊を始めている。図-4は火山灰砂層の崩壊の進行と、

時間毎のピエゾメータ水位を示したものである。図(a)は、透水層のない場合で、降雨開始10分以後、急速に水位が上昇し、各水位線のピーク点より斜面先側で崩壊が生じている。これは図-2(a)において明らかとなり、水の貯留が斜面先から始まつたため、含水率の増大により火山灰砂の強度係数の低下(図-5)と、水位より上層の斜面に沿う流体力の増加で火山灰砂の安定性は急激に低下し、崩壊するものと考えられる。透水層(碎石 $F=5.0\text{cm}$)を設けた場合は図-4(c)で判明するように、ピエゾメータ水位は、40分ではほとんど一定となり、降雨と透水量との関係が定常化している。